

УДК 517.925.42

## **МАТЕМАТИЧЕСКОЕ МОДЕЛИРОВАНИЕ НЕЛОКАЛЬНОЙ КОЛЕБАТЕЛЬНОЙ СИСТЕМЫ ДУФФИНГА С ФРАКТАЛЬНЫМ ТРЕНИЕМ**

**Р.И. Паровик<sup>1, 2</sup>**

<sup>1</sup> Институт космофизических исследований и распространения радиоволн ДВО РАН, 684034, Камчатский край, п. Паратунка, ул. Мирная, 7

<sup>2</sup> Камчатский государственный университет имени Витуса Беринга, 683032, г. Петропавловск-Камчатский, ул. Пограничная, 4

E-mail: romanparovik@gmail.com

В работе рассматривается нелинейная фрактальная колебательная система Дуффинга с трением. Проведен численный анализ этой системы с помощью конечно-разностной схемы. Построены решения системы в зависимости от дробных параметров, а также фазовые портреты.

*Ключевые слова: оператор Герасимова-Капуто, фазовый портрет, осциллятор Дуффинга, конечно-разностная схема*

© Паровик Р.И., 2015

MSC 37C70

## **MATHEMATICAL MODELING OF NONLOCAL OSCILLATORY DUFFING SYSTEM WITH FRACTAL FRICTION**

**R.I. Parovik<sup>1, 2</sup>**

<sup>1</sup> Institute of Cosmophysical Researches and Radio Wave Propagation Far-Eastern Branch, Russian Academy of Sciences, 684034, Kamchatskiy Kray, Paratunka, Mirnaya st., 7, Russia

<sup>2</sup> Vitus Bering Kamchatka State University, 683031, Petropavlovsk-Kamchatsky, Pogranichnaya st., 4, Russia

E-mail: romanparovik@gmail.com

The paper considers a nonlinear fractal oscillatory Duffing system with friction. The numerical analysis of this system by a finite-difference scheme was carried out. Phase portraits and system solutions were constructed depending on fractional parameters.

*Key words: Gerasimov-Caputo operator, phase portrait, Duffing oscillator, finite-difference scheme*

© Parovik R.I., 2015

## Введение

Исследование нелинейных колебательных систем имеет важное практическое значение [1]. С развитием теории моделирования фрактальных процессов появилась возможность выявить новые свойства нелинейных фрактальных колебательных систем. Такие колебательные процессы описываются дифференциальными уравнениями с производными дробных порядков [2]. Дробные порядки производных связаны с фрактальной размерностью среды, а их учет в колебательной системе, как дополнительных степеней свободы, дает предпосылки к новым хаотическим режимам, которые описывают реальные процессы и явления. Например, в работе [3] был исследован вопрос о моделировании затухающих колебаний в шине транспортного средства, в работе [4], были изучены свойства вязко-упругих свойств балок, пластин и цилиндрических оболочек.

Интерес представляет изучение нелинейной колебательной системы с трением (осциллятор Дуффинга). В работах [5, 6] рассмотрено моделирование осциллятора Дуффинга с фрактальным трением. В настоящей работе рассмотрено обобщение предложенных ранее моделей осциллятора Дуффинга, в случае, когда в исходное уравнение вводится оператор дробного дифференцирования вместо производной второго порядка по смещению. Исследованы режимы колебательной системы в результате изменения дробных параметров, построены фазовые портреты.

## Постановка задачи

Найти решение  $x(t)$ , где  $t \in [0, T]$ , удовлетворяющее уравнению

$$\partial_{0r}^{\alpha} x(\eta) + a \partial_{0r}^{\beta} x(\eta) - x(t) + x^3(t) = \delta \cos(\omega t) \quad (1)$$

и начальным условиям

$$x(0) = x_0, \dot{x}(0) = y_0 \quad (2)$$

где  $\partial_{0r}^{\alpha} x(\eta) = \frac{1}{\Gamma(2-\alpha)} \int_0^t \frac{\ddot{x}(\eta) d\eta}{(t-\eta)^{\alpha-1}}$ ,  $\partial_{0r}^{\beta} x(\eta) = \frac{1}{\Gamma(1-\beta)} \int_0^t \frac{\dot{x}(\eta) d\eta}{(t-\eta)^{\beta}}$  – операторы дробного дифференцирования в смысле Герасимова-Капуто порядка  $\alpha$  и  $\beta$ ;  $\dot{x}(t) = dx/dt$  и  $\ddot{x}(t) = d^2x/dt^2$ ;  $x_0, y_0, \delta, \omega, a, T$  – заданные параметры.

Необходимо отметить, что в работах [2, 5, 6] для описания трения использовался оператор дифференцирования дробного порядка в смысле Римана-Лиувилля. Мы используем оператор Герасимова-Капуто, в этом случае справедливы локальные условия (2). В случае оператора Римана-Лиувилля необходимо задавать нелокальные условия [7].

## Метод решения

Задачу (1), (2) решим с помощью численных методов – явной конечно-разностной схемы. Введем  $\tau$  – шаг дискретизации, причем  $t_j = j\tau$ ,  $j = 1, 2, \dots, N$ ,  $N\tau = T$ ,  $x(j\tau) = x_k$ . Тогда производные дробных порядков, входящие в уравнении (1, можно аппроксимировать следующим образом [8]

$$\partial_{0r}^{\alpha} x(\eta) \approx \frac{\tau^{-\alpha}}{\Gamma(3-\alpha)} \sum_{k=0}^{j-1} \left[ (k+1)^{2-\alpha} - k^{2-\alpha} \right] (x_{j-k+1} - 2x_{j-k} + x_{j-k-1}) \quad (3)$$

$$\partial_{0t}^{\beta} x(\eta) \approx \frac{\tau^{-\beta}}{\Gamma(2-\beta)} \sum_{k=0}^{j-1} \left[ (k+1)^{1-\beta} - k^{1-\beta} \right] (x_{j-k+1} - x_{j-k}).$$

Подставляя соотношения (3) в уравнение (1), получим следующую явную конечно-разностную схему:

$$\begin{aligned} x_1 &= Ax_0 - Cx_0^3 + K, \quad x_2 = Ax_1 - Bx_0 - Cx_1^3 + K \cos(\omega\tau), \\ x_{j+1} &= Ax_j - Bx_{j-1} - Cx_j^3 - B \sum_{k=1}^{j-1} b_k (x_{j-k+1} - 2x_{j-k} + x_{j-k-1}) - \\ &\quad - M \sum_{k=1}^{j-1} c_k (x_{j-k+1} - x_{j-k}) + K \cos(\omega j\tau) \end{aligned} \quad (4)$$

$$\begin{aligned} A &= \left( \frac{2\tau^{-\alpha}}{\Gamma(3-\alpha)} + \frac{\tau^{-\beta}}{\Gamma(2-\beta)} + 1 \right) / \left( \frac{\tau^{-\alpha}}{\Gamma(3-\alpha)} + \frac{\tau^{-\beta}}{\Gamma(2-\beta)} \right), \\ B &= \frac{\tau^{-\alpha}}{\Gamma(3-\alpha)} / \left( \frac{\tau^{-\alpha}}{\Gamma(3-\alpha)} + \frac{\tau^{-\beta}}{\Gamma(2-\beta)} \right), \quad K = \delta / \left( \frac{\tau^{-\alpha}}{\Gamma(3-\alpha)} + \frac{\tau^{-\beta}}{\Gamma(2-\beta)} \right), \\ C &= 1 / \left( \frac{\tau^{-\alpha}}{\Gamma(3-\alpha)} + \frac{\tau^{-\beta}}{\Gamma(2-\beta)} \right), \quad M = \frac{\tau^{-\beta}}{\Gamma(2-\beta)} / \left( \frac{\tau^{-\alpha}}{\Gamma(3-\alpha)} + \frac{\tau^{-\beta}}{\Gamma(2-\beta)} \right), \\ b_k &= (k+1)^{2-\alpha} - k^{2-\alpha}, \quad c_k = (k+1)^{1-\beta} - k^{1-\beta}, \quad j = 2, \dots, N-1. \end{aligned}$$

Производную  $y(t) = \dot{x}(t) = dx/dt$  аппроксимируем конечной разностью:  $y_j = \frac{x_j - x_{j-1}}{\tau}$ . Значения  $x_0$  и  $y_0$  определяются из начальных условий (2).

## Результаты моделирования

Численное моделирование проводилось с учетом следующих значений параметров в решении (4):  $N = 4000$ ,  $\tau = \pi/100$ ,  $\omega = 1$ ,  $\delta = 0.3$ ,  $a = 0.15$ ,  $x_0 = 0.2$ ,  $y_0 = 0.3$ . Фазовый портрет строился по точкам  $(x(t), y(t))$  в зависимости от параметров  $\alpha$  и  $\beta$ .

Для исследования колебательных режимов часто используют сечение Пуанкаре. Сечение Пуанкаре – это плоскость в фазовом пространстве, выбранная таким образом, чтобы все траектории, принадлежащие аттрактору, пересекали ее под ненулевым углом.

Отметим, что замкнутые фазовые траектории образуют конечные последовательности точек в сечении Пуанкаре (одна точка соответствует предельному циклу с периодом  $T$ , две точки соответствуют предельному циклу с удвоенным периодом  $2T$ , непериодические режимы соответствуют бесконечные последовательности точек в сечении Пуанкаре. В качестве сечение Пуанкаре выберем плоскость постоянной фазы внешнего воздействия  $\omega t_n = 2\pi n$ , что соответствует выбору точек фазовой траектории ровно через период  $T = 2\pi$  внешней силы.

На рис. 1 представлен случай  $\alpha = 2$ ,  $\beta = 1$ , соответствующий классическому осциллятору Дуффинга с трением. В этом случае эффект памяти в колебательной системе исчезает. Решение не является периодическим, а имеет хаотический характер (рис. 1а). Подтверждение хаотического режима для вынужденных колебаний фрактального осциллятора Дуффинга можно увидеть на рис. 1б, где представлено сечение

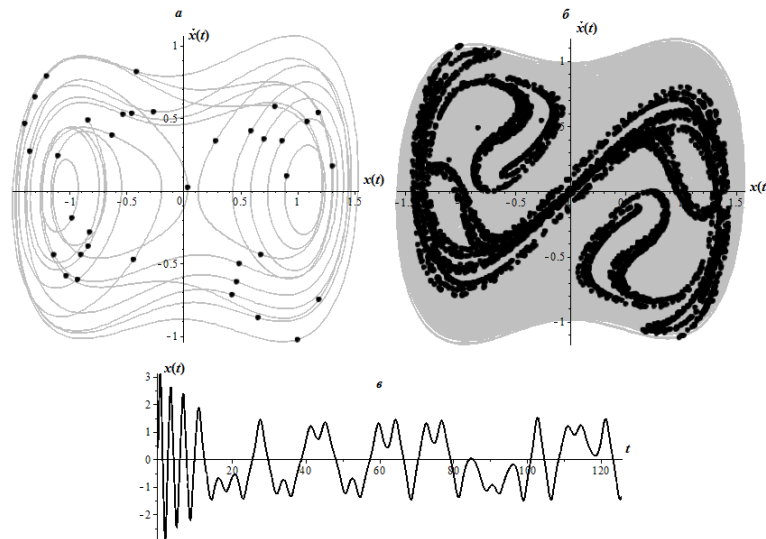


Рис. 1. Фазовый портрет и точки сечения Пуанкаре (а), построенные согласно численному решению (в) с учетом параметров:  $N = 30000$ ,  $\tau = \frac{\pi}{100}$ ,  $\omega = 1$ ,  $\delta = 0.3$ ,  $a = 0.15$ ,  $x_0 = -1.3311$ ,  $y_0 = -0.1429$ ,  $\alpha = 2$ ,  $\beta = 1$ ; б – сечение Пуанкаре при  $N = 5 \cdot 10^5$  с теми же значениями параметров

Пуанкаре, построенное при большом количестве точек  $N = 5 \cdot 10^5$ , а также функция смещения  $x(t)$ , которая приведена на рис. 1в. Исходя из точек сечения Пуанкаре рис. 1б, можно заключить, что классический осциллятор Дуффинга является бистабильной колебательной системой [9], которая обладает хаотическим аттрактором, характерным для детерминированного хаоса [10].

На рис. 2 приведен фазовый портрет (рис. 2а) и функция смещения (рис. 2б), полученные с помощью численной схемы (4) в случае:  $\alpha = 2$ ,  $\beta = 0.6$ .

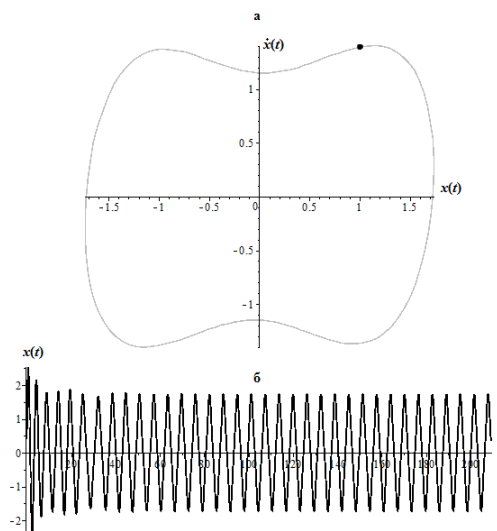


Рис. 2. Фазовый портрет и точка Пуанкаре (а), построенные согласно численному решению (б) с учетом параметров:  $N = 4000$ ,  $\tau = \frac{\pi}{100}$ ,  $\omega = 1$ ,  $\delta = 0.3$ ,  $a = 0.15$ ,  $x_0 = 1.0052$ ,  $y_0 = 1.3901$ ,  $\alpha = 2$ ,  $\beta = 0.6$

Можно отметить, что решение в этом режиме имеет периодический характер, а фазовая траектория – предельный цикл. Сечение Пуанкаре состоит из одной единственной точки, что отражено на рис. 2б и эта точка совпадает с начальной точкой  $(x_0, y_0)$ . Аналогичные результаты были представлены в работе [5]. Можно также отметить, что кубическая нелинейность в уравнении (??) приводит к увеличению частоты колебаний (рис. 2б).

На рис. 3 представлена расчетная кривая, построенная по формуле (??). Параметры расчета: количество точек  $N = 1000$ , шаг дискретизации  $\tau = 0.16$ ,  $\xi = 4$ ,  $\alpha = 2$ ,  $\beta = 0.8$ ,  $(x(0), \dot{x}(0)) = (-2.623, -4.0705)$ .

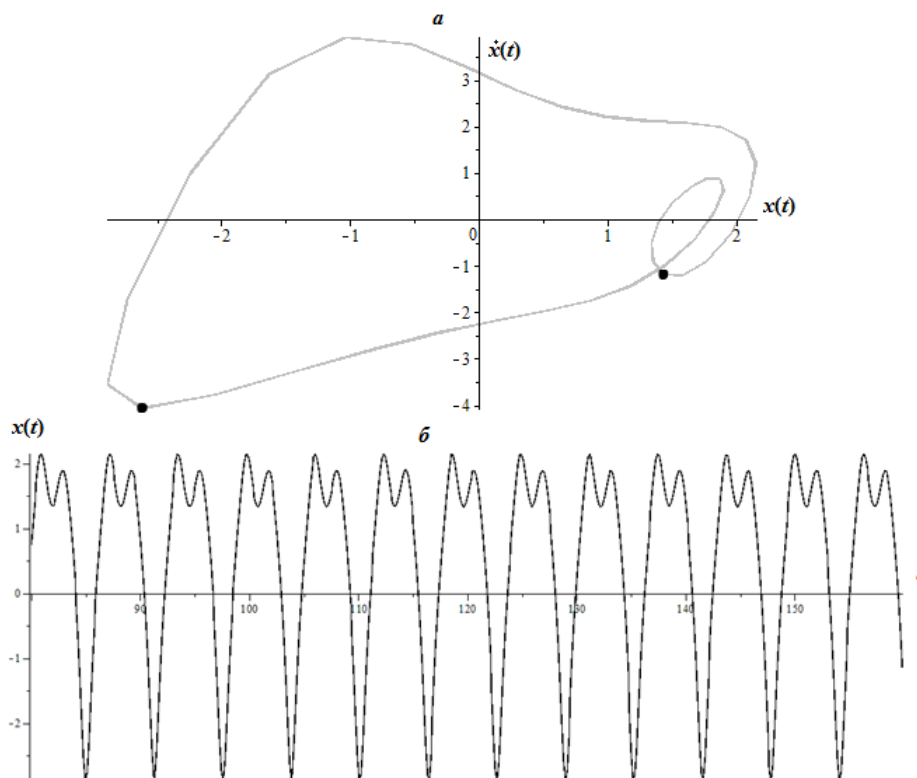


Рис. 3. Предельный цикл с точками сечения Пуанкаре (а) и численное двупериодическое решение (б), полученное по формуле (??) с учетом параметров:  $\alpha = 2, \beta = 0.8, \tau = 0.16, a = 0.15, \delta = 4, (x(0), \dot{x}(0)) = (-2.623, -4.0705)$

На рис. 3а и рис. 3б видно, что решение имеет предельный цикл с петлей, причем сечение Пуанкаре содержит две точки. Поэтому решение является двупериодическим. Наличие петли приводит к раздвоению амплитуды колебаний (рис. 3а). Подобные структуры получали авторы работы [5].

На рис. 4 представлена эволюция решения и фазовые портреты при различных параметрах  $\alpha$ ,  $\beta$  и  $\tau$ . На рис. 4 фазовые траектории выходят на предельный цикл. На рис. 4в наблюдается хаотичный режим. Можно сделать вывод, что появление новых параметров (дробных показателей) в эрдитарном уравнении (1), расширяет свойства осциллятора Дуффинга и предвещает появления новых режимов и эффектов в нелинейной колебательных системах. Порядки дробных производных выступают в качестве управляющих параметров, которые определяют режимы фрактальной колебательной системы, что необходимо учитывать при их моделировании.

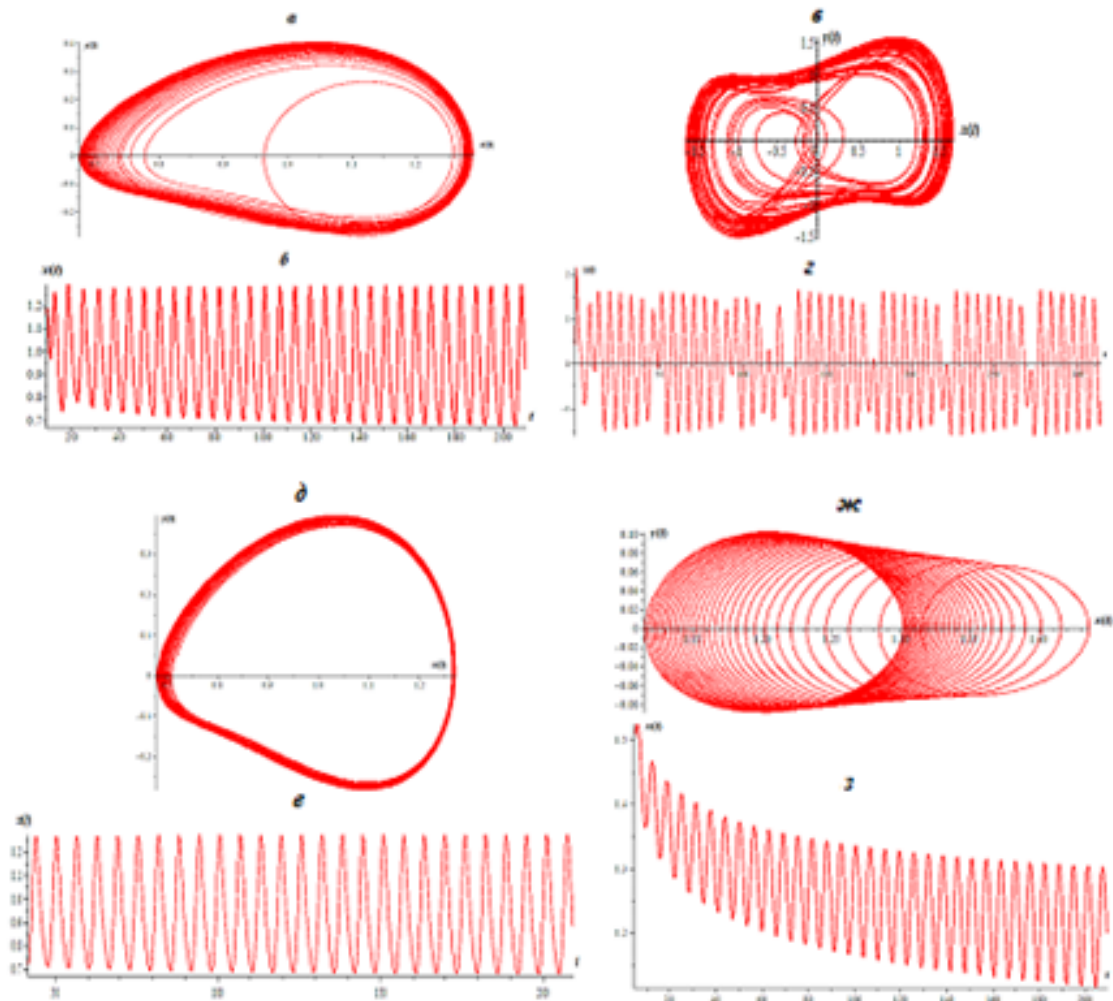


Рис. 4. Фазовый портрет и численное решение (??) с учетом параметров: (а,б)  $\alpha = 1.7, \beta = 1, \tau = \frac{\pi}{60}$ ; (в,г)  $\alpha = 1.8, \beta = 1, \tau = \frac{\pi}{40}$ ; (д,е)  $\alpha = 1.8, \beta = 0.2, \tau = \frac{\pi}{60}$ ; (ж,з)  $\alpha = 1.3, \beta = 0.2, \tau = \frac{\pi}{60}$

## Заключение

В работе рассмотрена модель фрактального осциллятора Дуффинга с трением. Найдены численные решение в зависимости от дробных параметров  $\alpha$  и  $\beta$ , построены фазовые траектории. Анализ решений показал, что существуют как периодические решения, так и хаотические режимы. Для более качественного анализа в дальнейшем будут построены бифуркационные диаграммы и проведен тест на установления условий возникновения периодических решений.

## Библиографический список

1. Рехвиашвили С.Ш. Размерные явления в физике конденсированного состояния и нанотехнологиях. Нальчик: КБНЦ РАН, 2014. 250 с.
2. Petras I. Fractional-Order Nonlinear Systems. Modeling, Analysis and Simulation. Beijing and Springer-Verlag Berlin Heidelberg: Springer, 2011. 218 p.

3. Kao B.G. A three-dimensional dynamic tire model for vehicle dynamic simulations // *Tire Science and Technology*. 2000. Vol. 28, no. 2. P. 72–95.
4. Rossikhin Y.A., Shitikova M.V. Application of fractional calculus for dynamic problems of solid mechanics: novel trends and recent results // *Applied Mechanics Reviews*. 2010. Vol. 63, no. 1. P. 010801.
5. Syta A., Litak G., Lenci S., Scheffler M. Chaotic vibrations of the duffing system with fractional damping // *Chaos: An Interdisciplinary Journal of Nonlinear Science*. 2014. Vol. 24, no. 1. P. 013107.
6. Sheu L.J., Chen H.K., Chen J.H., Tam L.M. Chaotic dynamics of the fractionally damped Duffing equation // *Chaos, Solitons & Fractals*. 2007. Vol. 32, no. 4. P. 1459–1468.
7. Нахушев А.М. Дробное исчисление и его применение. М.: Физматлит, 2003. 272 с.
8. Паровик Р.И. Численный анализ некоторых осцилляционных уравнений с производной дробного порядка // *Вестник КРАУНЦ. Физико-математические науки*. 2014. Т. 9, № 2. С. 30–35.
9. Эбелинг В. Образование структур при необратимых процессах. Введение в теорию диссипативных структур. М.: Мир, 1979. 279 с.
10. В.Т. Гринченко А.А. Снарский, В.Т. Мацыпура. Введение в нелинейную динамику: Хаос и фракталы. М.: ЛКИ, 2007. 264 с.

Поступила в редакцию / Original article submitted: 13.04.2015